

РАСТВОРИМОСТЬ ЗОЛОТА В ВОДНО-ХЛОРИДНЫХ РАСТВОРАХ, ВЗАИМОДЕЙСТВУЮЩИХ С ЭПИДОТОВЫМИ ПРОПИЛИТАМИ И ЭПИДОТ-ГЕДЕНБЕРГИТОВЫМИ СКАРНАМИ

© 2009 г. Л. П. Плюснина, Г. Г. Лихойдов, Ж. А. Щека

Дальневосточный геологический институт ДВО РАН

690022 Владивосток

просп. 100-летия Владивостока, 159; E-mail makarovo38@mail.ru

Поступила в редакцию 21.02.2008 г.

Путем физического эксперимента (300, 400°C) и расчетов (250–400°C) при $P_{\text{общ}} = 1$ кбар изучена модель процессов взаимодействия хлоридных растворов с минеральными ассоциациями эпидотовых пропилитов и геденбергитовых скарнов с сульфидами и без них. Оценены буферные свойства рудно-силикатных комплексных ассоциаций, предел устойчивой работы которых в изученном диапазоне T - P зависит и от кислотности исходных растворов. В отсутствие сульфидов этот предел составляет ≤ 0.01 мНCl, увеличиваясь с их появлением до 0.1 мНCl. Установлена низкая растворимость золота в хлоридных растворах, в связи с нейтрализацией их при взаимодействии с эпидотовыми пропилитами без сульфидов. Появление сульфидов в минеральных ассоциациях нивелирует этот эффект, что увеличивает растворимость золота. Валовую растворимость золота определяет рудная составляющая буферных смесей, главным образом, благодаря присутствию сульфидных минералов. Осаждение золота начинается при пороговой концентрации: для эпидотовых пропилитов без сульфидов 0.004 мг/л (при 300°C), геденбергитовых скарнов – 0.06 мг/л (при 400°C) и с появлением в них пирита она достигает 0.29 мг/л.

Большинство золоторудных и полиметаллических месторождений в пределах вулкано-тектонических структур имеют полигенную и полихронную природу, обусловленную различными метасоматическими процессами. На одном и том же рудном поле процессы пропилитизации, скарнирования и гидротермальной сульфидизации нередко налагаются друг на друга. В качестве примеров служат: Многовершинное золото-серебряное месторождение в нижнем Приамурье, Чадак в Узбекистане, Тарданское в восточной Туве, комплексное Никель Плейт в Канаде и др. Для объяснения деталей этих процессов, степени их влияния на отложение золота необходима количественная характеристика условий его переноса гидротермальными растворами, дрениирующими эпидотовые пропилиты и эпидот-геденбергитовые скарны. Известно, например, что при формировании месторождений кислотность среды буферируется взаимодействием раствор-порода тем самым, контролируя поведение металлов [1]. Вулканические основного и среднего состава, взаимодействуя с кислыми гидротермальными растворами, нейтрализуют их, что стимулирует осаждение рудных минералов [2, 3]. Цель нашей работы – изучение процессов взаимодействия хлоридных золотосодержащих растворов с типичными минеральными ассоциациями эпидотовых пропилитов и низкотемпературных скарнов путем экспериментального и теоретического моделирования в рамках системы Na–Ca–Fe–Al–Si–Cl–S–H₂O–O₂.

Устойчивость эпидотовых ассоциаций в растворах NaCl и KCl при 250–500°C и $P_{\text{общ}} = 1$ кбар изучена ранее [4, 5]. Было установлено, что эпидот-содержащие ассоциации, взаимодействуя с исходными хлоридными растворами переменной кислотности (1.86 < pH < 8.6), поддерживают слабощелочную среду (5.4 < pH < 6.6). Минеральные ассоциации эпидотовых пропилитов и эпидот-геденбергитовых скарнов с эпидотом, альбитом, кальцитом, геденбергитом, кварцем, гематитом и магнетитом буферируют, таким образом, кислотно-основные свойства рудоносных гидротермальных растворов. Изучение особенностей поведения золота в растворах, взаимодействующих с этими ассоциациями, позволяет осветить его характер в этих условиях.

Было показано, что при температуре выше 350°C и pH среды более 6.5 в изученной системе образуется геденбергит: $\text{Ca}_2\text{Al}_2\text{FeSi}_3\text{O}_{12}(\text{OH})$ (Ep₃₃) + 0.5Fe₂O₃ (Hem) + 7SiO₂ (Qtz) + 2Na⁺ + 0.5H₂O = 2CaFeSi₂O₆ (Hd) + 2NaAlSi₃O₈ (Ab) + 2H⁺ + 0.5O₂. Эта минеральная ассоциация представляет собой распространенный парагенезис эпидот-геденбергитовых скарнов, нередко с золотым оруденением [6].

ТЕХНИКА И МЕТОДИКА

Эксперименты выполнены ампульно-автоклавным методом на изотермах 300 и 400°C под общим давлением 1 кбар. Растворы переменной кислотности (1 мНaCl, 1 мНaCl + 10⁻³ мНCl,

Таблица 1. Валовая концентрация Au и величина pH в закаленных растворах, буферируемых в ходе опытов ассоциацией *Ep–Qtz–Ab–Cc–Hem ± Mgt* (1) и *Ep–Qtz–Ab–Cc–Hem–Py ± Mgt* (2) при $P_{\text{общ}} = 1$ кбар

Раствор	1			2		
	Параметры					
	pH*	lg mAu	N**	pH	lg mAu	N
300°C						
1 м NaCl + 10 ⁻³ м HCl	5.6	-7.80	4	5.1	-6.78	4
1 м NaCl	6.4	-7.67	3	5.9	-6.56	3
1 м NaCl + 10 ⁻³ м NaOH	6.6	-7.22	3	6.0	-6.00	3
400°C						
1 м NaCl + 10 ⁻³ м HCl	6.3	-7.40	4	5.8	-6.08	3
1 м NaCl	6.4	-7.18	4	6.3	-6.20	3
1 м NaCl + 10 ⁻³ м NaOH	7.0***	-6.69	2	—	—	—

* Измерено с точностью ± 0.2 ед.,

** Число опытов,

*** Появление в продуктах геденбергита.

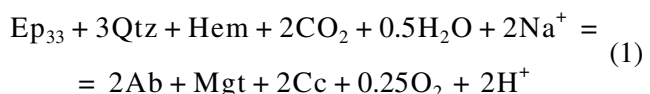
1 мNaCl + 10⁻³ мNaOH) вводились в золотые ампулы (9 × 0.2 × 80 мм) вместе с буферной навеской (200–250 мг). Непосредственный контакт между растворами, буферной навеской и металлическим золотом оптимизировал взаимодействие. Источником золота при растворении служили стенки ампул что, судя по результатам кинетических опытов, обеспечивало необходимую площадь взаимодействия золота с раствором. Совмещенная буферная навеска представляла минеральный парагенезис эпидотовых пропилитов (или эпидот–геденбергитовых скарнов) в смеси с той или иной ассоциацией рудных компонентов. В ходе опытов f_{O_2} поддерживалась магнетит–гематитовым (HM) буфером, а вместе с f_{S_2} – пирит–гематит–магнетитовым (PHM) или пирит–пирротин–магнетитовым (PPM). В случае эпидотовых пропилитов силикатная часть навески включала (мг): эпидот–50, альбит–20, кварц–30, кальцит–10; и эпидот–геденбергитовых скарнов: эпидот–30, геденбергит–30, альбит–15, кварц–30. Рудная часть буфера состояла из (мг): гематита–50 и магнетита–50 (HM); или пирита–50, магнетита–50 и гематита–50 (PHM); либо пирротина–40, пирита–40 и магнетита–40 (PPM). Фазовый состав твердой навески в продуктах опытов контролировали рентгеном на аппарате ДРОН–3 в монохроматизированном медном излучении. Количество закаленного после опытов раствора составляло 3–3.5 мл.

Длительность экспериментов, принятая по результатам кинетических опытов, составила (сут.): 21–30 при 300 и 15 – 400°C. Валовая концентрация золота в закаленных растворах определялась вслед за предварительной его экстракцией в диоктилсульфид. Использовались методы атомной абсорбции с помощью электротермической атомизации (спектро-

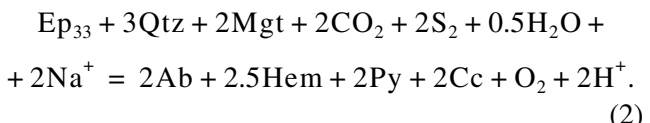
трофотометр АА–6200) и атомной эмиссии индуктивно связанной плазмы на приборе “Плазмоквант–110” в аналитическом центре ДВГИ ДВО РАН.

РЕЗУЛЬТАТЫ ОПЫТОВ

Взаимодействие эпидотовых пропилитов с растворами NaCl. Выполненные физические эксперименты подтвердили буферные свойства изученных ассоциаций. Эти свойства определяют реакции гидролиза и окисления, ограничивающие поле устойчивости эпидота по температуре и таким параметрам среды как pH, f_{O_2} , активность Na⁺:



и, в присутствии пирита:



Независимо от исходного значения, кислотность закаленных растворов, равновесных с (1) в опытах при 300°C, находилась в диапазоне 5.6 < pH < 6.6 (табл. 1). При взаимодействии тех же растворов с сульфидсодержащей ассоциацией величина pH несколько уменьшалась, а растворимость золота возрастала примерно на порядок.

Увеличение растворимости золота при самопротивольном замещении эпидота в ассоциации (1) геденбергитом сопровождалось на изотерме 400°C ростом щелочности растворов, что подтвердило результаты полученные ранее [4]. Эти параметры являются, таким образом, предельными для устой-

Таблица 2. Валовая концентрация золота ($\lg \text{mAu}$) в закаленных растворах ($P_{\text{общ}} = 1$ кбар)

Исходный раствор	Буферная ассоциация		
	I	II	III
300°C			
1 м NaCl + 0.001 м HCl	-7.12	-5.81*	-7.05
1 м NaCl	-6.89	-6.11*	-6.62
1 м NaCl + 0.001 м NaOH	-6.83	-6.31*	-
400°C			
1 м NaCl + 0.001 м HCl	-6.53	-5.76	-
1 м NaCl	-6.61	-5.91	-6.64
1 м NaCl + 0.001 м NaOH	-6.39	-5.83	-

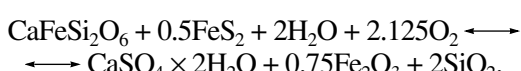
I – $\text{Ep}-\text{Hd}-\text{Ab}-\text{Qtz}-\text{Hem}-\text{Mgt}$; II – $\text{Ep}-\text{Hd}-\text{Ab}-\text{Qtz}-\text{Hem}-\text{Py}-\text{Mgt}$; III – $\text{Ep}-\text{Hd}-\text{Ab}-\text{Qtz}-\text{Py}-\text{Po}-\text{Mgt}$;

* Появление гипса в продуктах опытов.

чивого существования эпидотовых пропилитов на границе с низкотемпературными скарнами.

Взаимодействие эпидот-геденбергитовых скарнов с растворами NaCl. Результаты опытов, выполненных в присутствии комплексных ассоциаций: $\text{Ep}_{33} + \text{Hd} + \text{Ab} + \text{Cc} + \text{Qtz} + \text{Hem} + \text{Mgt}$ (I), $\text{Ep}_{33} + \text{Hd} + \text{Ab} + \text{Cc} + \text{Qtz} + \text{Hem} + \text{Py} + \text{Mgt}$ (II) и $\text{Ep} + \text{Hd} + \text{Ab} + \text{Qtz} + \text{Py} + \text{Po} + \text{Mgt}$ (III) сведены в табл. 2. Здесь, как и в предыдущих сериях опытов, появление в растворах гидросульфидов увеличивает валовую растворимость золота.

Оказалось, что геденбергит при 300°C не устойчив и спонтанно замещается гипсом:



Гипс идентифицирован в продуктах опытов по величинам d/n – 7.56; 4.23; 3.05 и 2.68 Å. В то же время, включение гипса в исходную ассоциацию, обнаружено в ходе кинетических опытов, что он так же не

устойчив и при экспозиции опытов более 30 сут. замещается ангидритом CaSO₄. Последний идентифицирован по d/n – 3.87; 3.50; 2.85; 2.32; 2.21 и 2.08 Å. Кинетическая кривая растворения золота в присутствии буфера РНМ при 300°C характеризуется экстремальным максимумом, совпадающим по времени с метастабильной кристаллизацией гипса (рис. 1).

Гипс играет роль промежуточной фазы при замещении геденбергита ангидритом. Это обстоятельство, возможно, и объясняет некоторое увеличение концентрации валового золота в растворах по сравнению с ассоциацией III (табл. 2), несмотря на то, что в последнем случае среда имеет более восстановительный характер.

Для оценки влияния редокс-потенциала и фугитивности серы на нижнюю границу устойчивости геденбергита выполнена серия опытов в системе Ca–Fe–Al–Si–H₂O–Cl–S–O₂ в присутствии буферной ассоциации $\text{Ep} + \text{Hd} + \text{Ab} + \text{Cc} + \text{Qtz} + \text{Po} + \text{Py} + \text{Mgt}$. Оказалось, что в этих условиях ни гипс, ни ангидрит не появляются, поскольку сульфатные комплексы не устойчивы в более восстановленной среде по данным [7].

РАСЧЕТНОЕ МОДЕЛИРОВАНИЕ

Полученная информация о параметрах флюида, существующего в опытах с твердой навеской, дополнена расчетами методом минимизации потенциала Гиббса гетерогенной системы с помощью программного комплекса “Селектор-С” [8]. В качестве исходных были взяты аналогичные растворы – 1мNaCl, 1мNaCl + 0.1мHCl, и 1мNaCl + 0.1мNaOH. Количество раствора и твердых фаз принято пропорциональным физическому эксперименту и составляло 3 мл и 30 мг. Использована встроенная база термодинамических данных SUPCRT98 – модернизированный вариант [9]. В этой базе, к сожалению, сведения о гидроксидных комплексах золота отсутствуют.

Ассоциации $\text{Ep}_{33} + \text{Qtz} + \text{Hem} + \text{Ab} + \text{Mgt} + \text{Cc}$ (1) и $\text{Ep}_{33} + \text{Qtz} + \text{Mgt} + \text{Ab} + \text{Hem} + \text{Py} + \text{Cc}$ (2).

Взаимодействие названных ассоциаций с растворами NaCl рассчитано на изотермах 250, 300, 350 и 400°C ($P_{\text{общ}} = 1$ кбар). Соотношение ряда физико-химических параметров растворов представлено на примере 1мNaCl в табл. 3. Изменение pH исходных растворов в результате взаимодействия с ассоциациями (1) и (2) показано на рис. 2. Очевидно, что в системе без серы формируется слабо щелочная среда (линия А). Добавление пирита к буферной ассоциации (1) подкисляет растворы (Б) и тренд их сближается с известным для буфера РНМ (В). Расчеты свидетельствуют, таким образом, что в случае с эпидотовыми пропилитами влияние на pH сульфидной составляющей явно доминирует по сравнению с силикатной. Дальнейшее подкисление исходных рас-

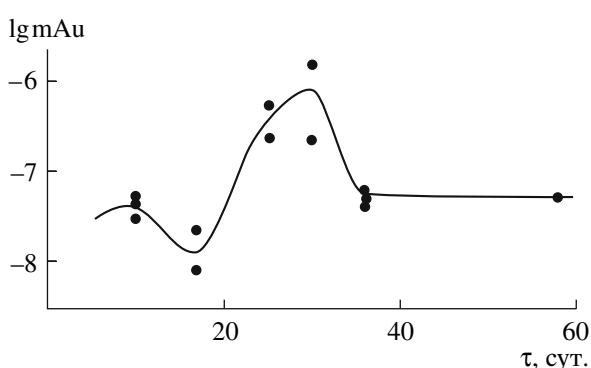


Рис. 1. Кинетическая кривая изменения концентраций золота ($\lg \text{mAu}$) в растворе 1 м NaCl + 0.001 м NaOH при 300°C/1 кбар.

Таблица 3. Некоторые параметры раствора 1 м NaCl в присутствии ассоциаций $Ep-Qtz-Ab-Cc-Hem-Mgt$ (1) и $Ep-Qtz-Ab-Cc-Hem-Py-Mgt$ (2) ($P_{\text{общ}} = 1$ кбар)

Параметр	1				2			
$t, ^\circ\text{C}$	250	300	350	400	250	300	350	400
pH	6.58	6.62	6.99	7.37	4.81	4.82	4.80	4.77
$\lg f_{O_2}$	-27.31	-23.31	-20.32	-17.69	-31.44	-28.62	-26.93	-24.65
$\lg f_{S_2}$	-	-	-	-	-7.97	-7.44	-8.91	-17.25
$\lg m \Sigma Au$	-11.85	-10.72	-9.97	-9.27	-4.94	-4.28	-3.69	-3.28

тволов (+0.1 м HCl) уменьшает pH среды, сосуществующей с твердой навеской, и сопровождается растворением вначале эпидота, а при 350°C и альбита с гематитом, фиксируя, тем самым, предел буферной емкости ассоциации (1) в целом.

Фугитивность кислорода поддерживается ассоциацией (1) на 4–5 лог. ед. выше значения характерного при данных $T-P$ для буфера НМ (табл. 3), что объясняет неустойчивость магнетита в существующих растворах. В присутствии ассоциации (2) редокс-потенциал среды сдвигается в более восстановительную область, что подтверждается расчетами, и магнетит стабилизируется. Появление серы в системе приводит, в свою очередь, к увеличению растворимости золота на несколько порядков, что связано, главным образом, с появлением его гидросульфидных комплексов.

Концентрация индивидуальных комплексов золота в составе его валовой растворимости рассчитана при стабильной работе рудно-силикатного буфера (2) и приведена в табл. 4. В нее включены частицы, концентрация которых по расчетным данным оказалась выше виртуального “порога чувствительности” ($mAu > 10^{-18}$). В системе без серы перечень и соотношение хлоридных комплексов остается тем же за исключением Au^+ , концентрация которого в этом случае ниже своего “порога”.

Ассоциации $Ep_{33} + Hd + Ab + Cc + Qtz + Hem \pm Mgt$ (I) и $Ep_{33} + Hd + Ab + Cc + Qtz + Hem + Py + Mgt$ (II).

Расчет параметров среды, равновесной с более высокотемпературными, в сравнении с предыдущими, минеральными ассоциациями выполнен на изотермах 300, 350, 400, 450 и 500°C при $P_{\text{общ}} = 1$ кбар. Буферная емкость ассоциации (I) ограничена исходной кислотностью растворов до 0.01 м HCl включительно. Эта ассоциация поддерживает щелочную среду, величина pH которой в диапазоне 300–500°C представлена в табл. 5. Появление пирита в ассоциации (II) расширяет поле ее устойчивости в область более кислых исходных растворов (эквивалентных 0.1 м HCl) и буферируемая среда в этом случае оказывается слабокислой (табл. 6). Тренды растворов, взаимодействующих с ассоциациями (I), (II) и буфе-

ром НРМ, показаны в координатах Т-рН на рис. 3. Здесь видно, что ассоциация гематит-пирит-магнетит отчетливо подавляет эффект силикатной составляющей буфера, определяя тем самым кислотность, редокс-потенциал среды и валовую растворимость золота.

В связи с тем, что в физическом эксперименте геденбергит спонтанно замещался ангидритом (Anh), мы рассчитали на изотермах 300, 400°C при $P_{\text{общ}} = 1$ кбар результат взаимодействия растворов NaCl с ассоциацией $Ep_{33} + Ab + Anh + Qtz + Hem + Py + Mgt$ (табл. 7). Подтвердились буферные свойства этой ассоциации, которая поддерживает близнейтральную среду ($pH = 5.85$ при 300°C) и определяет низкую растворимость золота ($\lg mAu = -7.15$). Эта картина в целом близка и результатам физического эксперимента (табл. 2). Последовательность замещения геденбергит → ангидрит моделировала следующая серия расчетов. В этом случае к ассоциации с Anh мы добавили Hd. Оказалось, что рас-

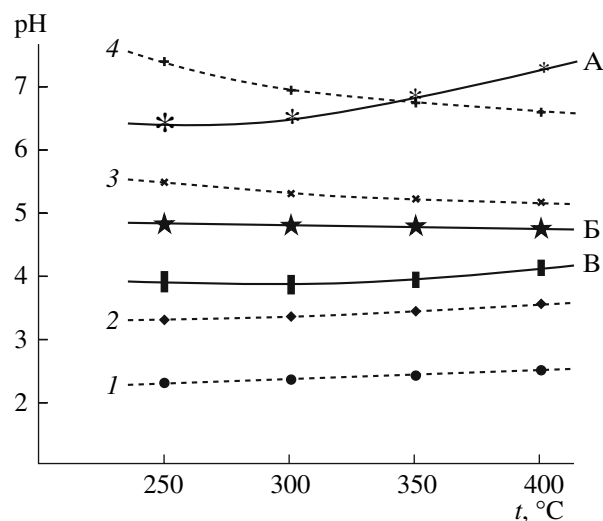


Рис. 2. Расчетные тренды кислотности растворов в координатах pH- $t, ^\circ\text{C}$ ($P_{\text{общ}} = 1$ кбар). Исходные растворы: 1 – 1 м NaCl + 0.01 м HCl; 2 – 1 м NaCl + 0.001 м HCl; 3 – 1 м NaCl; 4 – 1 м NaCl + 0.001 м NaOH; и растворы, буферируемые ассоциациями: А – $Ep-Qtz-Ab-Cc-Hem-Mgt$, Б – $Ep-Qtz-Ab-Cc-Hem-Py-Mgt$ и В – $Hem-Py-Mgt$.

Таблица 4. Золото в среде, буферируемой ассоциацией $Ep-Qtz-Ab-Cc-Hem-Mgt-Py$ ($P_{общ} = 1$ кбар)

Комплексы	250	300	350	400°C
	$\lg m_i$			
Au^+	-16.36	-14.89	-13.59	-12.42
$AuCl^0$	-12.38	-11.37	-10.36	-9.58
$AuCl_2^-$	-11.14	-10.14	-9.15	-8.35
$Au(HS)_2^-$	-9.56	-8.14	-7.03	-6.16
$AuHS^0$	-4.94	-4.28	-3.69	-3.28

четыре так же фиксируют уменьшение количества Hd в продуктах реакции. Взаимодействие этой ассоциации, в целом неравновесной, формирует слабощелочную среду ($6.38 < pH < 6.54$), где растворимость золота несколько возрастает.

ОБСУЖДЕНИЕ РЕЗУЛЬТАТОВ

Сравнение растворимости золота, измеренной в ходе опытов, с результатами расчетов обнаруживает между собой заметное расхождение. В системах без сульфидов расчетные валовые концентрации золота оказываются на 2–3 порядка ниже значений полученных в эксперименте. Это связано, скорее всего, с тем, что в принятой базе данных сведения о гидроксидных комплексах золота отсутствуют, тогда как роль их в слабощелочных и щелочных растворах очевидна [10, 11]. Для оценки возможного вклада этих комплексов в валовую растворимость золота в наших условиях мы рассчитали те же модели при 300, 400°C и $P_{общ} = 1$ кбар, но уже с помощью программного комплекса “Гиббс” [12].

База данных в этом случае была представлена банком UNITHERM, включающим гидроксидные комплексы золота. Оказалось, что в этом случае результаты расчетов и физических экспериментов различались менее чем на 0.5 порядка. Так, например, в системе без серы расчетное значение валовой растворимости составило при 300°C $-\lg mAu^{aq} = -7.45$.

При расчетах систем в присутствии пиритсодержащих ассоциаций с помощью пакета “Селектор”, валовая растворимость золота завышается в сравнении с результатами физических экспериментов примерно на 2 порядка. Это обстоятельство связано, скорее всего, с неадекватными константами нейтрального гидросульфидного комплекса $AuHS^0$, который в ходе наших расчетов определяет порядок величин валовой растворимости золота (табл. 4 и 6). В пользу этого говорят расчеты с Anh в минеральной ассоциации (табл. 7). Комплексом, определяющим валовую растворимость золота в этом случае, оказывается $Au(HS)_2^-$. В итоге расчетная, и измеренная величины валовой растворимости золота сближаются ($\lg mAu = -7.15$ и -7.26 , соответственно). Имеются сведения, что в растворах при величине $pH < 5.5$ доминирует комплекс $HAu(HS)_2^0$ [13, 7].

Отсюда следует, что валовая концентрация золота в растворах более корректно определяется в ходе физического эксперимента. Следует так же добавить, что базы данных названных программных пакетов не учитывают возможное взаимодействие между хлором и гидросульфидными комплексами в сложных растворах. И это обстоятельство может оказать заметное влияние на величину валовой растворимости золота в подобных условиях [14]. В то же время теоретическое моделирование позволяет оценить “in situ” поведение таких параметров как кислотность-щелочность и редокс-потенциал

Таблица 5. Валовая концентрация золота и величина pH в растворах, взаимодействующих с ассоциацией $Ep-Hd-Ab-Cc-Qtz-Hem \pm Mgt$ ($P_{общ} = 1$ кбар)

Раствор	300	350	400	450	500°C
pH					
1 м NaCl + 0.001 м NaOH	7.71	7.35	7.11	7.03	7.18
1 м NaCl	7.71	7.34	7.11	7.03	7.18
1 м NaCl + 10^{-3} м HCl	7.70	7.34	7.11	7.03	7.17
1 м NaCl + 0.01 м HCl	7.69	7.33	7.09	7.02	7.02
1 м NaCl + 0.1 м HCl	5.20	4.98	4.92	5.14	5.96
$\lg m Au_{aq}$					
1 м NaCl + 0.001 м NaOH	-11.81	-10.40	-9.15	-8.13	-7.48
1 м NaCl	-11.81	-10.40	-9.15	-8.13	-7.48
1 м NaCl + 10^{-3} м HCl	-11.81	-10.40	-9.15	-8.13	-7.48
1 м NaCl + 0.01 м HCl	-11.66	-10.29	-9.08	-8.09	-7.33
1 м NaCl + 0.1 м HCl	-9.49	-8.25	-7.19	-6.49	-7.12

Таблица 6. Валовая концентрация золота и величина pH в растворах, взаимодействующих с ассоциацией *Ep–Hd–Ab–Cc–Qtz–Hem–Py–Mgt* ($P_{\text{общ}} = 1$ кбар)

Раствор	300	350	400	450	500°C
pH					
1 м NaCl + 0.1 м NaOH	4.69	4.74	4.71	4.46	4.03
1 м NaCl	4.69	4.73	4.71	4.46	4.03
1 м NaCl + 10^{-3} м HCl	4.69	4.73	4.71	4.46	4.02
1 м NaCl + 0.01 м HCl	4.49	4.54	4.51	4.26	4.02
1 м NaCl + 0.1 м HCl	3.25	3.31	3.48	3.70	3.98
$\lg m \text{Au}_{\text{aq}}$					
1 м NaCl + 0.1 м NaOH	-4.20	-3.66	-3.23	-2.89	-2.53
1 м NaCl	-4.20	-3.66	-3.23	-3.89	-2.53
1 м NaCl + 10^{-3} м HCl	-4.20	-3.66	-3.23	-2.89	-2.53
1 м NaCl + 0.01 м HCl	-4.17	-3.63	-3.21	-2.88	-2.45
1 м NaCl + 0.1 м HCl	-4.04	-3.51	-3.10	-2.85	-2.49

среды, формирующейся путем взаимодействия хлоридных растворов с конкретными минеральными ассоциациями. То же касается летучести кислорода и серы, а также роли индивидуальных комплексов золота – компонентов его валовой растворимости. Таким образом, сочетание теоретических и физических экспериментов, дополняющих друг друга, оказалось полезным.

В настоящее время известны результаты экспериментального изучения растворимости ряда металлов в среде, буферируемой комплексными рудно-силикатными ассоциациями. Так, например, при 300–700°C изучена растворимость Cu, Zn и Pb в хлоридных растворах, буферируемых ассоциациями калишпат–мусковит–кварц (*Fsp–Ms–Qtz*) и магнетит–гематит [1]. Растворимость золота в солянокислой среде была изучена в присутствии совмещенных рудного (PPM или РНМ) и силикатного (*Fsp–Ms–Qtz*) буферов [15]. Авторы последней работы полагали, что ассоциация *Fsp–Ms–Qtz* определяет pH среды, тогда как – РРМ или РНМ – ее редокс-потенциал. Между тем еще раньше было известно, что ассоциации с сульфидами (РРМ, РНМ) поддерживают, в том числе и кислотность среды в диапазоне $3.3 < \text{pH} < 3.7$ в соответствующих *P–T* условиях [16]. Рассмотренные выше результаты позволяют считать, что кислотность определяет суммарное влияние и рудной, и силикатной составляющих. При этом степень влияния рудной компоненты на валовую растворимость золота, особенно в системе с серой, оказывается определяющей. Необходимо так же отметить различие в положении трендов Т–pH буферных ассоциаций с сульфидами и без них (рис. 2). В первом случае pH среды растет параллельно температуре (**A**), тогда как во втором эта зависимость практически исчезает (**B**).

Присутствие в системе эпидотовых пропилитов и эпидот–геденбергитовых скарнов без сульфидов, базифицирует изначально кислые хлоридные растворы и инициирует, по достижению пороговой концентрации золота, его осаждение. Появление в этих минеральных ассоциациях пирита заметно снижает эффект нейтрализации растворов (рис. 2), поскольку кислотность среды определяет, главным образом, парагенезис *Hem–Py–Mgt*. Равновесными в этом случае оказываются слабокислые растворы, осаждение золота из которых начинается уже при более высокой пороговой концентрации золота (табл. 1 и 2). Этот порог составляет (в мг/л):

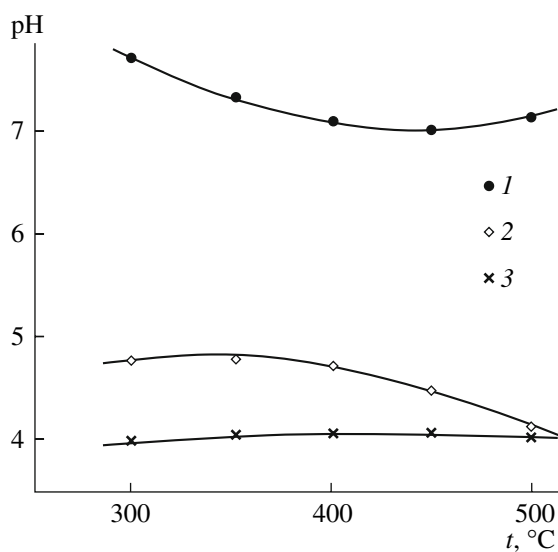


Рис. 3. Расчетная диаграмма pH–t, °C хлоридных растворов, буферируемых различными минеральными ассоциациями ($P_{\text{общ}} = 1$ кбар). 1 – *Ep–Hd–Ab–Qtz–Hem–Mgt*; 2 – *Ep–Hd–Ab–Qtz–Hem–Mgt–Py*; 3 – *Hem–Py–Mgt*.

Таблица 7. Фугитивность кислорода, pH и концентрация золота в растворах, буферируемых ассоциацией *Ab-Ep-Anh-Qtz-Hem-Py ± Mgt* ($P_{\text{общ}} = 1$ кбар)

Раствор	300°C			400°C		
	$\lg f_{\text{O}_2}$	pH	$\lg \text{mAu}$	$\lg f_{\text{O}_2}$	pH	$\lg \text{mAu}$
1 м NaCl + 0.001 м NaOH	-30.98	5.85	-7.15	-24.99	5.49	-5.39
1 м NaCl	-30.98	5.84	-7.16	-24.98	5.47	-5.41
1 м NaCl + 0.001 м HCl	-30.98	5.85	-7.15	-24.97	5.46	-5.42
1 м NaCl + 0.1 м HCl*	-30.71	5.35	-7.64	-24.70	4.97	-5.88
1 м NaCl + 0.01 м HCl**	-31.46	6.38	-6.58	-25.58	6.05	-4.77
1 м NaCl + 0.001 м HCl***	-31.46	6.41	-6.55	-25.48	6.07	-4.75
1 м NaCl + 0.001 м NaOH***	-31.46	6.42	-6.54	-25.48	6.08	-4.74
1 м NaCl + 0.01 м NaOH***	-31.46	6.44	-6.52	-25.48	6.10	-4.72
1 м NaCl + 0.1 м NaOH***	-31.46	6.54	-6.36	-25.48	6.16	-4.61

В ходе опыта исходный геденбергит разложился * или сохранился**.

в среде эпидотовых пропилитов без серы 0.004 (при 300°C/1 кбар), повышаясь в случае эпидот-геденбергитовых скарнов до 0.06 (при 400°C/1 кбар) и достигает 0.29 с появлением в них пирита.

Отсутствие сульфидов во вмещающих породах представляет, таким образом, геохимический барьер, на котором из дренируемых растворов может высаживаться золото. Более поздняя сульфидизация, налагаясь на золотосодержащие эпидотовые пропилиты и скарны, способствует ремобилизации золота и его переотложению в подходящих условиях. Если золото транспортируется гидротермальными растворами преимущественно в виде бисульфидов, то уменьшение активности последних может спровоцировать хорошо известное осаждение сульфидных минералов с включенным золотом. Обычно это может вызвать изменение $P-T$ условий и/или при смешении гидротермальных рудоносных растворов с грунтовыми, метеорными или морскими водами. В пользу подобного механизма говорит температура кристаллизации включений с золотом в поздних сульфидах, не превышающая обычно 170°C [17, 18].

На заре экспериментального изучения растворимости золота полагали, что его хлоридные комплексы обычно доминируют над сульфидными [19]. Однако в дальнейшем подтверждение получила альтернатива [20, 7, 14]. Выше показано, что валовая растворимость золота в среде, поддерживаемой изученными минеральными ассоциациями, слабо зависит от концентрации хлора, и роль хлоридных комплексов в ее составе резко подчинена. Появление серы в хлоридных растворах при растворении пирита определяет высокую концентрацию железа в растворе (до 145 ppm при 500°C) [17]. По мнению этого автора, в подобной обстановке гидротермальный транспорт железа осуществляется, главным обра-

зом, комплексом FeCl^+ (что подтверждают и наши расчеты) и золота – $\text{Au}(\text{HS})_2^-$.

Спонтанное замещение геденбергита метастабильным гипсом при 300°C сопровождается некоторым увеличением концентрации золота в сосуществующих растворах (табл. 2). С ростом экспозиции опытов промежуточный гипс переходит в ангидрит и, по достижению равновесия, в соответствии с правилом ступеней Оствальда, концентрация золота вновь уменьшается почти на порядок. На кинетической кривой растворения золота это обстоятельство фиксирует экстремальный максимум (рис. 1). Сходная картина увеличения концентрации золота и, особенно, платины в растворах мы наблюдали ранее [21, 22]. В этом случае при окислении MnO до Mn_3O_4 путем спонтанной кристаллизации метастабильных гидрооксидов марганца растворы пересыщались платиной вплоть до ее высаживания в виде металла в процессе закалки. Подобный синергетический кооперативный эффект обусловлен изменением физико-химических параметров среды и, прежде всего, активности воды в процессе перекристаллизации промежуточных неравновесных гидратированных фаз [23]. Известно, что реакции гидратации имеют обычно положительный объемный эффект и являются экзотермическими, что, в свою очередь, благоприятствует растворению рудных компонентов.

ЗАКЛЮЧЕНИЕ

Установлена относительно низкая растворимость золота в хлоридных растворах при их взаимодействии с эпидотовыми пропилитами, не содержащими сульфидов, что объясняется эффектом нейтрализации хлоридных растворов. Показано, что буферные свойства изученных ассоциаций ограничены диапазоном 250–400°C (1 кбар) и кислотно-

стью исходных растворов, не превышающей эквивалента 0,01 мНCl.

В эпидотовых пропилитах и скарнах с сульфидами эффект нейтрализации кислых растворов отсутствует или выражен крайне слабо. Величина рН в подобной обстановке, существенным образом, связана с присутствием в минеральной ассоциации рудных компонентов типа пирит-магнетит-гематит. Сульфидные минералы в среде, дренирующей растворы, способствуют, при соответствующем значении редокс-потенциала, мобилизации золота из вмещающих пород в виде гидросульфидов.

Осаждение золота из гидротермальных растворов происходит по достижению пороговой его концентрации в связи с изменением параметров среды (температура, геохимические барьеры и т.п.). Установлена величина пороговой концентрации золота в водно-хлоридной среде при буферировании ее минеральными ассоциациями эпидотовых пропилитов и эпидот-геденбергитовых скарнов с сульфидами и без них.

Изменение физико-химических параметров системы в процессе самопроизвольной эволюции ее метастабильных твердых фаз может служить объяснением одной из причин спонтанного переотложения полезных компонентов при развитии рудной системы.

СПИСОК ЛИТЕРАТУРЫ

1. Hemley J.J., Hunt J.P. Hydrothermal ore-forming processes in the light of studies in rock-buffered systems // Econ. Geol. 1992. V. 87. P. 23–43.
2. Коржинский Д.С. Особенности постмагматических процессов в вулканических формациях // Рудоносность вулканогенных формаций М. Изд. АН СССР. 1963. С. 52–64.
3. Русинов В.Л. Метасоматические процессы в вулканогенных толщах. М. Наука. 1989. 210 с.
4. Плюснина Л.П. Экспериментальное исследование устойчивости эпидота в хлоридно-карбонатных растворах // Геохимия. 1990. № 1. С. 26–36.
5. Плюснина Л.П., Некрасов И.Я. Экспериментальное исследование устойчивости ассоциаций эпидота в калиевых хлоридных растворах // Докл. РАН. 1991. Т. 317. № 6. С. 1470–1473.
6. Плюснина Л.П., Лихойдов Г.Г., Щека Ж.А., Фатянов И.И. Физико-химические условия формирования пропилитов месторождения Многовершинного // Тихоокеанская геол. 2004. Т. 23. № 3. С. 14–21.
7. Hayashi K.J., Ohmoto H. Solubility of gold in NaCl and H₂S-bearing aqueous solutions at 250–350°C // Geochim. Cosmochim. Acta. 1989. V. 53. P. 269–278.
8. Карпов И.К., Чудненко К.В., Бычинский В.А., Кулик Д.А., Павлов А.Л., Третьяков Г.А., Кашик С.А. Минимизация свободной энергии Гиббса при расчете гетерогенных равновесий // Геология и геофизика. 1995. Т. 36. № 4. С. 3–21.
9. Johnson J.W., Oelkers E.H., Helgeson H.C. A software package for calculations of the standard molal thermodynamic properties of minerals, gases, aqueous species, and reactions from 1 to 5000 bars and 0 to 1000°C // Computer Geosciences. 1992. V. 77. P. 899–947.
10. Зотов А.В., Баранова Н.Н., Дарьина Т.Г. Устойчивость гидроксокомплекса AuOH⁰ в воде при 300–500°C и давлении 500–1500 атм. // Геохимия. 1985. № 1. С. 105–109.
11. Акинфиев Н.Н., Зотов А.В. Термодинамическое описание хлоридных, гидросульфидных и гидроксокомплексов Ag(1), Cu(1) и Au(1) в диапазоне температур 25–500°C и давлений <2000 бар. // Геохимия. 2001. N 10. C. 1083–1099.
12. Shvarov Yu.V. Algorithmization of the numeric equilibrium modeling of dynamic geochemical processes // Geochem. Intern. 1999. V. 37. N 6. P. 571–577.
13. Shenberger D.H., Barnes H.L. Solubility of gold in aqueous sulfide solutions from 150 to 350°C // Geochim. Cosmochim. Acta. 1989. V. 53. P. 269–278.
14. Лихойдов Г.Г., Некрасов И.Я. Растворимость золота в комплексной водной сульфидно-хлоридной среде при 300–500°C и $P_{\text{общ}} = 1$ кбар // Геохимия. 2001. № 4. С. 394–403.
15. Gibert F., Pascal M.L. and Pichavant M. Gold solubility and speciation in hydrothermal solutions: experimental study of the stability of hydrosulfide complex of gold (AuHS⁰) at 350 to 450°C and 500 bars // Geochim. Cosmochim. Acta. 1998. V. 62. P. 2931–2948.
16. Crerar D.A., Susak N.J., Boresik M., and Schwartz S. Solubility of the buffer assemblage pyrite-pyrrhotite-magnetite in NaCl solutions from 200 to 350°C // Geochim. Cosmochim. Acta. 1978. V. 42. P. 1427–1437.
17. Ryuba J. Geochemistry of hydrothermal transport and deposition of gold and sulfide minerals in Carlin-type gold deposits // US GS. Bull. 1985. Sp. pap. B164. P. 27–34.
18. Некрасов И.Я. Геохимия, минералогия и генезис золоторудных месторождений. 1991. М.: Наука. 301 с.
19. Wood S.A., Crerar D.A. and Borcsik M.P. Solubility of the assemblage pyrite-pyrrhotite-magnetite-sphalerite-galena-gold in H₂O-NaCl-CO₂ solutions from 200 to 350°C // Econ. Geol. 1987. V. 82. P. 1864–1887.
20. Seward T.M. The transport and deposition of gold in hydrothermal systems. // In Gold 82: The geology, Geochemistry and Genesis of Gold Deposits (ed. R.P. Foster). 1984. P. 165–181.
21. Likhoidov G.G., Plyusnina L.P., Scheka J.A., and Aphanas'eva T.B. Experimental study of gold and platinum solubility in a complex fluid under hydrothermal conditions. // Resource Geology. 2000. V. 50. No2. P.83–92.
22. Плюснина Л.П. Влияние фазовых переходов в системе Mn–O₂–H₂O на растворимость золота и платины при 200–400°C и 1 кбар // Геохимия. 2002. № 1. С. 80–86.
23. Плюснина Л.П. Минералогенезис и правило ступеней Оствальда в самоорганизующихся геологических системах // Вестник ДВО РАН. 2007. N 2. С. 117–122.